

УДК 353.361

© 1990

## ОСОБЕННОСТИ РАССЕЯНИЯ СВЕТА ВТОРОЙ ГАРМОНИКИ В ПОЛИДОМЕННЫХ КРИСТАЛЛАХ $Pb_5Ge_3O_{11} : Nd^{3+}$

*B. H. Моисеенко, И. И. Петерс, В. Г. Линник, В. В. Клименко*

Проведены исследования особенностей рассеяния света второй оптической гармоники (ВГ) в полидоменных кристаллах  $Pb_5Ge_3O_{11} : Nd^{3+}$  при возбуждении YAG :  $Nd^{3+}$  лазером вдоль и перпендикулярно сегнетоэлектрической оси. Установлен различный характер рассеяния в зависимости от направления распространения и поляризации возбуждающего излучения. При распространении излучения основной частоты перпендикулярно сегнетоэлектрической оси вклад в рассеяние дают реальная доменная структура и полосы роста. В последнем случае наблюдается нелинейная дифракция на доменах и полосах роста с периодом  $\sim 1$  мкм. Исследован поляризационный состав рассеянного света.

Нелинейные свойства сегнетоэлектрика германата свинца ( $Pb_5Ge_3O_{11}$ ) исследовались в ряде работ [1, 2], в которых установлена линейная связь между векторной частью коэффициентов Миллера  $\delta$ , и спонтанной поляризацией  $P_s$ , а также получены температурные зависимости компонент тензора нелинейной диэлектрической восприимчивости в окрестности точки сегнетоэлектрического перехода.

Интерес к нелинейным свойствам германата свинца обусловлен перспективами его использования в качестве кристаллических матриц для твердотельных лазеров с самоумножением частоты. Особый интерес в этом плане представляют кристаллы  $Pb_5Ge_3O_{11} : Nd^{3+}$  [3]. Наряду с благоприятными предпосылками применения указанных кристаллов существует ряд трудностей, среди которых следует выделить естественную доменную структуру и ростовые дефекты [3, 4].

Целью настоящей работы было исследование рассеяния света второй гармоники (ВГ) в полидоменных кристаллах  $Pb_5Ge_3O_{11} : Nd^{3+}$  при возбуждении YAG :  $Nd^{3+}$  лазером.

Легированные кристаллы германата свинца оптического качества были выращены методом Чохральского в направлении [001]. Концентрация неодима составляла 0.2 ат. % в исходной шихте. Образцы для исследования представляли собой прямоугольные призмы размером  $2 \times 4 \times 6$  мм вдоль кристаллографических осей  $X$ ,  $Y$  и  $Z$  соответственно.

Измерение угловых зависимостей рассеяния ВГ осуществлялось с использованием гониометра ГС-5, на алидаду которого вместо зрительной трубы крепился фотоэлектронный умножитель ФЭУ-79. Для предотвращения попадания ИК излучения на фотокатод перед умножителем помещался светофильтр с пропусканием  $T$  ( $\lambda_1 = 1064$  нм)  $< 0.3$  и  $T$  ( $\lambda_2 = 532$  нм)  $> 0.9$ . Регистрация полезного сигнала осуществлялась по методу счета фотонов. Возбуждающее излучение с  $\lambda_1$  распространялось перпендикулярно сегнетоэлектрической оси  $Z$  вдоль осей  $X$  или  $Y$ .

Распределение интенсивности рассеянного света ВГ с  $\lambda_2$  в плоскости экрана, расположенного перпендикулярно направлению распространения неполяризованного излучения с  $\lambda_1$ , представлено на рис. 1. Следует отметить две характерные особенности наблюданной картины: наличие сплошной полосы рассеянного света в направлении, перпендикулярном оси  $Z$ , и шесть дискретных максимумов интенсивности рассеяния ВГ

в направлении оси  $Z$ , расположенных по три симметрично относительно направления распространения излучения с  $\lambda_1$ . Уменьшение размера образца вдоль оси  $X$  или  $Y$  (в направлении распространения излучения с  $\lambda_1$ ) до 10 мкм путем шлифовки с последующей полировкой граней приводило к исчезновению дискретных максимумов. Приложение электрического поля  $\sim 5$  кВ/см вдоль оси  $Z$  к объемному образцу приводило к монодоменизации образца, что сопровождалось исчезновением полосы рассеянного света в направлении, перпендикулярном  $Z$ , и дискретных максимумов интенсивности в плоскости  $ZOY$ . При увеличении угла падения на кристалл  $\theta$  (рис. 1) картина становилась асимметричной относительно направления распространения излучения с  $\lambda_1$ : максимумы смещались вдоль оси  $Z$ , в плоскости  $ZOY$  происходило перераспределение интенсивности между правой и левой группами.

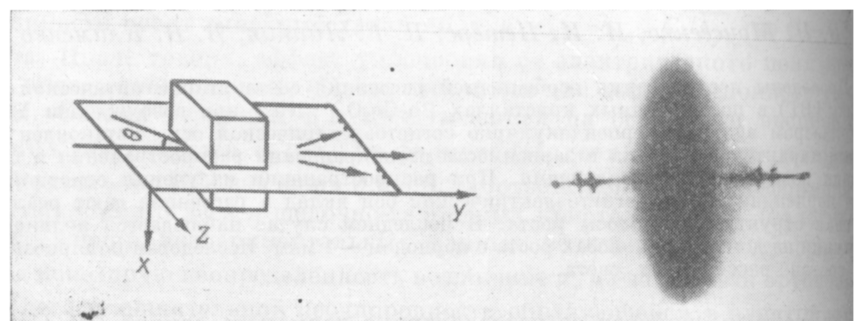


Рис. 1. Распределение интенсивности рассеяния света ВГ в плоскости экрана при возбуждении образца  $Pb_5Ge_3O_{11} : Nd^{3+}$  неполяризованным излучением  $YAG : Nd^{3+}$  лазера.

Угловое распределение интенсивности ВГ в плоскости  $ZOY$  в различных поляризационных геометриях при распространении излучения с  $\lambda_1$  вдоль оси  $Y$  представлено на рис. 2. Измерения позволили установить, что рассеянный свет имеет различную поляризацию.

На образцах, выращенных в направлении [100], дискретные максимумы интенсивности ВГ не наблюдались.

Полученные результаты можно объяснить следующим образом. С одной стороны, известно, что германат свинца обладает  $180^\circ$  доменной структурой [5]. В легированных ионами  $Nd^{3+}$  кристаллах она может стать менее регулярной вследствие закрепления отдельных доменов на ионах примеси. Рассеяние света на нерегулярной  $180^\circ$  доменной структуре ( $P_s \parallel Z$ ) и приведет к появлению полосы рассеянного света в направлении, перпендикулярном оси  $Z$ . Отсутствие указанного рассеяния в монодоменных образцах подтверждает его связь с реальной доменной структурой кристалла.

С другой стороны, известно, что одним из видов ростовых дефектов, имеющих место в кристаллах, выращенных методом Чохральского, являются так называемые ростовые полосы. Полосы роста связаны с изменением состава кристалла вследствие колебаний параметров, определяющих скорость роста на фронте кристаллизации [6]. При этом форма полос роста определяется формой фронта кристаллизации, а пространственный период может составлять от 1 до 100 мкм. Наличие полос роста в кристаллах германата свинца подтверждается данными поляризационно-микроскопических исследований [7]. Возникновение полос роста приводит к пространственной модуляции показателя преломления  $n(r)$  и компонент тензора нелинейной диэлектрической восприимчивости  $\chi_{ijk}(r)$  за счет периодического изменения основного состава и концентрации ионов  $Nd^{3+}$  вдоль оси роста [6]. В кристалле возникают слои, обогащенные  $Nd^{3+}$  и расположенные перпендикулярно оси роста (ось  $Z$  в нашем случае). При неизовалентном замещении ионов  $Pb^{2+}$  ионами  $Nd^{3+}$  слои роста могут обладать

избыточным положительным зарядом, что приведет к взаимодействию доменных стенок со слоями роста и образованию пространственных слоев доменов с противоположной ориентацией  $P_s$ . В направлении оси роста доменная структура частично упорядочивается. Компоненты тензора нелинейной восприимчивости  $\chi_{ijk}^{NL}$  испытывают периодическое изменение знака на границе слоев, в то время как линейная восприимчивость не испытывает разрыва. В слоях роста может происходить избирательное резонансное поглощение излучения неодимового лазера, о чем свидетельствуют спектры люминесценции [3], вследствие чего условия генерации и рассеяния ВГ в полосах роста и в промежутках между ними оказываются различными. Возникает нелинейная дифракция на объемной дифракционной решетке, образованной упорядоченными слоями доменов, напоминающая дифракцию света на звуке в диэлектриках [8]. При этом по углу дифракции можно оценить значение периода решетки  $a$ , образованной слоями доменов, используя соотношение

$$K_2 - 2K_1 = lq, \quad l = 1, 2, 3, \dots \quad (1)$$

где  $|K_2| = n_2/\lambda_2 = 2n_2/\lambda_1$ ,  $|K_1| = n_1/\lambda_1$ ,  $|q| = 1/a$ ,  $n_2 = 2.15$  для  $\lambda_2$ . Для нелинейной дифракции

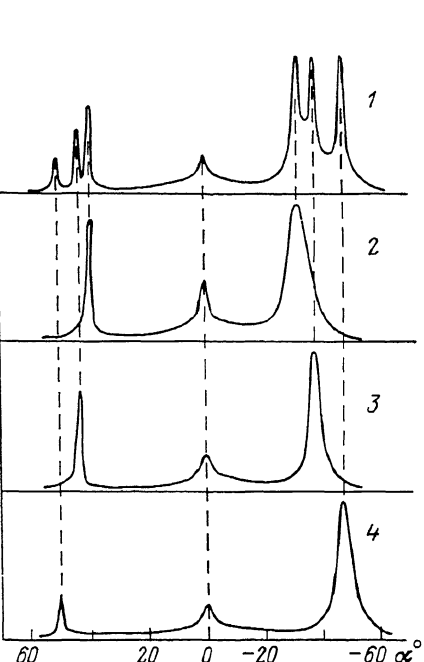


Рис. 2. Угловое распределение интенсивности нелинейной дифракции света ВГ в различных поляризационных геометриях.

$\alpha_p, \alpha_a$  (град): 1 — 45, 45; 2 — 90; 3 — 0, 0; 4 — 90.0.  $\alpha_p, \alpha_a$  — углы, определяющие ориентацию поляризатора и анализатора по отношению к оси Z кристалла.

на такой решетке с учетом преломления на границе раздела получим

$$a = \lambda_1/2 \sin \alpha, \quad (2)$$

где  $\alpha$  — наблюдаемый угол дифракции. Оценки величины  $a$  для трех углов дифракции дают:  $a_1 = 0.92$ ,  $a_2 = 0.83$ ,  $a_3 = 0.71$  мкм. Характер дифракции определяется параметром

$$Q = \lambda_2 d / \bar{a}^2 n_2 \approx 10^3, \quad (3)$$

где  $d$  — глубина дифракционной решетки (размер кристалла вдоль направления распространения излучения),  $\bar{a}$  — среднее значение периода. Величина  $Q \gg 1$ ; следовательно, реализуется режим дифракции типа Брэгга. Поляризационный состав рассеянного излучения находится в соответствии с возбуждаемыми компонентами тензора  $\chi_{ijk}$ .

Таким образом, полученные данные свидетельствуют о существенном влиянии естественных неоднородностей на характер генерации и рассеяния света ВГ в кристаллах  $\text{Pb}_5\text{Ge}_3\text{O}_{11} : \text{Nd}^{3+}$ .

#### Список литературы

- [1] Nordland W. A. // Ferroelectrics. 1973. V. 5. N 3—4. P. 287—289.
- [2] Miller R. C., Nordland W. A., Ballman A. A. // Ferroelectrics. 1974. V. N 1—4. P. 109—110.
- [3] Каминский А. А., Кюрстен Г. Д., Шульцце Д. // ДАН СССР. 1983. Т. 270. № 6. С. 1373—1376.

- [4] Ballman A. A., Kurtz S. K., Brown H. J. // Cryst. Growth. 1971. V. 10. N 2. P. 185—189.
- [5] Cross L. E., Cline T. W. // Ferroelectrics. 1976. V. 11. N 1—4. P. 333—336.
- [6] Кузьминов Ю. С. Сегнетоэлектрические кристаллы для управления лазерным излучением. М.: Наука, 1982. 400 с.
- [7] Панченко Т. В., Волнянский М. Д., Моня В. Г., Дуда В. М. // ФТТ. 1977. Т. 19. № 8. С. 1238—1244.
- [8] Гулляев Ю. В., Проклов В. В., Шкердин Г. Н. // УФН. 1978. Т. 124. № 1. С. 61—111.

Днепропетровский государственный университет

Поступило в Редакцию  
13 апреля 1989 г.  
В окончательной редакции  
6 марта 1990 г.

---